

СТАТИСТИЧЕСКАЯ КЛАССИФИКАЦИЯ ИММУНОСИГНАТУР ДЛЯ ЗАДАЧ РАННЕЙ ДИАГНОСТИКИ ЗАБОЛЕВАНИЙ ПРИ ЗНАЧИТЕЛЬНОМ СОКРАЩЕНИИ РАЗМЕРНОСТИ ПРИЗНАКОВОГО ПРОСТРАНСТВА

DOI: 10.17691/stm2018.10.3.2

УДК 616–078:577.112.6

Поступила 8.02.2018 г.



В.С. Андриющенко, лаборант Научно-образовательного центра компьютерных наук и технологий;

А.С. Углов, младший научный сотрудник Научно-образовательного центра компьютерных наук и технологий;

А.В. Замятин, д.т.н., доцент, зав. кафедрой теоретических основ информатики, директор Научно-образовательного центра компьютерных наук и технологий

Национальный исследовательский Томский государственный университет, Томск, 634050, пр. Ленина 36

Цель исследования — оценить возможности существенного сокращения признакового пространства иммуносигнатурных данных с помощью отбора наиболее информативных признаков при сохранении достаточного качества классификации заболеваний человека по этим данным.

Материалы и методы. Технология иммуносигнатуры основана на применении пептидных микрочипов, в которых пептиды со случайными аминокислотными последовательностями используются для обнаружения болезней. Такие пептиды служат частичным или полным подобием эпитопов антигенов. Определение заболеваний производится при помощи алгоритмов классификации, обученных на редуцированной выборке иммуносигнатурных паттернов пациентов с известными диагнозами.

Данные. Для проведения экспериментов использовались иммуносигнатурные данные, полученные на основе применения пептидного микрочипа высокого разрешения, имеющего порядка десяти тысяч пептидных ячеек. Оцифрованные данные для формирования выборок получены из публичной базы данных NCBI (идентификатор GSE52580).

Методы поиска информативных признаков. Для сокращения размерности признакового пространства производился поиск информативных пептидов. С этой целью проверялись применимость различных статистических критериев и меры делимости классов, таких как t-критерий Стьюдента, U-критерий Манна–Уитни–Вилкоксона, Колмогорова–Смирнова, расстояние Джеффриса–Матуситы.

Методы классификации. Использовались классификаторы, основанные на различном математическом аппарате: метод опорных векторов, наивный байесовский классификатор, случайный лес, градиентный бустинг.

Оценка качества классификации. Использовалась метрика доли правильных ответов, которая применяется как для бинарной, так и для мультиклассовой классификации.

Результаты. Экспериментальные исследования показали, что сокращение размерности и поиск информативных пептидов — необходимая мера, которая позволяет существенно сократить время работы классификаторов — от 16 до 1625 раз, а также сократить признаковое пространство в 240 раз без потери качества классификации. Показано, что все рассмотренные классификаторы с равным успехом справляются с задачей классификации иммуносигнатур.

Заключение. Результаты работы демонстрируют перспективность применения разработанного подхода к сокращению исходного размера признакового пространства иммуносигнатурных данных для более быстрой классификации без потери ее точности.

Ключевые слова: ранняя диагностика заболеваний; иммуносигнатура; сокращение размерности признакового пространства; классификация иммуносигнатур; отбор информативных признаков; критерий информативности.

Как цитировать: Andryushchenko V.S., Uglov A.S., Zamyatin A.V. Statistical classification of immunosignatures under significant reduction of the feature space dimensions for early diagnosis of diseases. *Sovremennyye tehnologii v medicine* 2018; 10(3): 14–20, <https://doi.org/10.17691/stm2018.10.3.2>

Для контактов: Замятин Александр Владимирович, e-mail: avzamyatin@inbox.ru

Statistical Classification of Immunosignatures under Significant Reduction of the Feature Space Dimensions for Early Diagnosis of Diseases

V.S. Andryushchenko, Laboratory Assistant, Scientific and Educational Center of Computer Science and Technology;

A.S. Uglov, Junior Researcher, Scientific and Educational Center of Computer Science and Technology;

A.V. Zamyatin, DSc, Associate Professor, Head of the Department of Theoretical Foundations of Informatics; Director of the Scientific and Educational Center of Computer Science and Technology

National Research Tomsk State University, 36 Lenin Avenue, Tomsk, 634050, Russia

The aim of the study is to explore the options of significantly reducing the feature space of immunosignatures by selecting the most informative features while maintaining the reasonable quality of the human disease classification.

Materials and Methods. The immunosignature technology is based on the use of peptide microchips, where peptides with random amino acid sequences serve for diagnostic purposes. Such peptides have partial or complete similarity with the antigen epitopes. The diagnosis is made by using classification algorithms, developed from a reduced sample of immunosignature data of patients with known diagnoses.

The data. To carry out the experiments, the immunosignature data obtained from high-resolution peptide microchips containing about ten thousand peptide cells were used. The digitized data for composing the samples was obtained from the public NCBI database (identified as GSE52580).

Searching for informative parameters. To reduce the dimensionality of the data space, we conducted a search for the most informative peptides. For this purpose, we tested various statistical criteria and group discriminators (such as the Student's t-test, the Mann–Whitney–Wilcoxon U test, the Kolmogorov–Smirnov test, and the Jeffries–Matusita distance) for their applicability to this search.

Classification methods. Classifiers based on various mathematical models were used: i.e. the Support Vector Machine, the Naive Bayesian Classifier, the Random Forest, and the Gradient Boosting.

Evaluation of the quality of classification. The proportion of correct accuracy was used to evaluate both binary and multiclass classification.

Results. The present studies demonstrate that by reducing the dimensionality and by searching for the informative peptides it becomes possible to reduce the time needed for the classification processing (ranged from 16-fold to 1625-fold), as well as to reduce the feature space (240-fold) without compromising the quality of classification. It has been shown that all tested classifiers are equally successful in solving the problem of immunosignature classification.

Conclusion. The results rationalize the proposed approach to reducing the initial feature space of immunosignature data in order to accelerate the classification process without reducing its accuracy.

Key words: early diseases diagnosis; immunosignature; feature space dimensionality reduction; immunosignature classification; selection of informative features; informative criterion.

Введение

Сегодня распространенность онкологических, инфекционных и других заболеваний сохраняется на достаточно высоком уровне [1]. При этом диагностика таких заболеваний до сих пор остается достаточно дорогостоящей и длительной процедурой, отличающейся множеством недостатков. Традиционная диагностика онкологических заболеваний распознает болезни в основном на поздней стадии, когда вероятность излечения крайне низка [2]. Поэтому сейчас в мировом сообществе проводится активная работа по поиску новых методов ранней диагностики опасных заболеваний, одним из которых является технология иммуносигнатуры [3].

Данная технология основана на применении пептидных микрочипов, где пептиды со случайными аминокислотными последовательностями используются для обнаружения болезней [4]. Данные пептиды служат частичным или полным подобием эпитопов антигена. Использование множества пептидов, представляющих собой вероятные аминокислотные последовательности белков, делает возможным определение связывающего партнера для многих антител, даже если точное совпадение для эпитопа отсутствует [5]. Именно эти данные могут помочь в постановке окончательного диагноза.

На сегодняшний день существует несколько видов пептидных матриц, содержащих от 10 тыс. до 350 тыс. пептидов [6, 7]. Из-за большого количества признаков

возникает проблема анализа и интерпретации таких данных. Даже опытному специалисту очень непросто поставить диагноз, анализируя значения матрицы с тысячами различных пептидов [8, 9]. Возможное решение проблемы — автоматическая классификация данных. Однако классификация данных больших размерности и объема весьма трудоемка и требует немалых вычислительных ресурсов. Одним из решений данной проблемы является использование не всех доступных пептидов, а только наиболее информативных. Благодаря такому подходу возможно уменьшение признакового пространства в десятки раз при сохранении достаточно высокого качества классификации. Существует множество методов отбора наиболее информативных признаков-пептидов, однако, согласно исследованиям [10], наиболее практически значимым является *t*-критерий Стьюдента.

Цель исследования — оценка эффективности использования классификации иммуносигнатурных данных при значительном уменьшении признакового пространства с выделением наиболее информативных признаков при сохранении достаточного качества классификации.

В связи с этим в данной работе решаются следующие задачи:

значительное сокращение признакового пространства с помощью различных методов и выделение при этом наиболее информативных признаков;

оценка различных классификаторов для иммуносигнатурных данных с целью нахождения наиболее эффективного метода сокращения размерности.

Материалы и методы

Данные. В исследовании использовалась технология, основанная на применении пептидного микрочипа [11]. Оцифрованные данные были получены из публичного хранилища биомедицинских данных GEO [12]:

количество экземпляров (пациентов) — 240;

количество пептидов — 9781;

количество классов — 6.

В табл. 1 представлен фрагмент оцифрованной пептидной матрицы с известными классами болезней *Y* и пептидами *X*. Названия пептидов представлены в виде последовательности составляющих их аминокислот.

Методы поиска информативных признаков.

Для решения задачи отбора наиболее информативных признаков целесообразно рассмотреть использование различных статистических тестов и меры разделимости классов. В данной работе используются различные (параметрические и непараметрические) критерии:

t-критерий Стьюдента [13];

U-критерий Манна–Уитни–Вилкоксона [14];

критерий Колмогорова–Смирнова [15];

расстояние Джеффриса–Матуситы [16].

При использовании любого статистического теста выдвигается две противоположные гипотезы. Одна называется альтернативной гипотезой (ее обозначают H_1), другая — нулевой (обозначается H_0). В нашем исследовании мы предположили следующее: нулевая гипотеза говорит о том, что классы, представленные в табл. 1, неразделимы, а альтернативная — о том, что классы разделимы.

Статистические тесты, используемые в данной работе, направлены на парное сравнение двух различных классов. Поэтому выбран контрольный класс (здоровые лица), который попарно сравнивался с классами болезней (см. табл. 1). В результате получается пять независимых выборок (контрольный класс против каждого типа рака) для каждого теста. Для оценки работы каждого статистического критерия используется *p*-значение.

P-значение (*p*-value) — это мера, принимаемая при тестировании статистических гипотез. Фактически это вероятность ошибки при отклонении нулевой гипотезы. Обычно при исследованиях *p*-значение сравнивают с общепринятыми стандартными уровнями значимости $p=0,05$ или $p=0,01$ [17]. В нашем исследовании будем считать пептид информативным при $p<0,005$. Из-за большого количества признаков-пептидов для формирования выборок отбирались пептиды с минимальным *p*-значением.

Методология отбора информативных пептидов для статистических тестов:

для каждого теста формируем пять независимых выборок сравнений каждого типа рака с контрольным классом;

из каждой выборки отбираем *N* пептидов, имеющих минимальное *p*-значение;

объединяем полученные выборки в один набор без повторений пептидов.

Таблица 1

Фрагмент пептидной матрицы

Болезнь	<i>Y</i> — SGYNSFAMKANYIFNGW	<i>X</i> — CSGSNYYDWWFRIAVMITIP
Рак мозга	5,27	9,10
Рак молочной железы	0,89	0,89
Рак пищевода	0,88	1,12
Рак поджелудочной железы	0,96	1,02
Множественная миелома	0,82	0,93
Контрольный класс (здоровые лица)	0,85	0,84

Для применения критерия расстояния Джеффриса–Матуситы необходимо отобрать только те пептиды, которые имеют максимальное расстояние.

Методология отбора информативных пептидов для расстояния Джеффриса–Матуситы:

формируем пять независимых выборок сравнений каждого типа рака с контрольным классом;

объединяем полученные выборки в один набор без повторений пептидов;

отбираем N пептидов, имеющих максимальное значение расстояния Джеффриса–Матуситы.

Методы классификации. Существует огромное количество различных методов классификации данных, которые могут быть опробованы для решения этой задачи. Поэтому целесообразно выбрать классификаторы, основанные на разном математическом аппарате. Рассмотрим кратко наши классификаторы:

Метод опорных векторов (support vector machine, SVM) — один из часто используемых алгоритмов обучения с учителем, применяется для решения задач классификации и регрессионного анализа. Принадлежит к семейству линейных классификаторов. Из-за своей универсальности имеет широкое применение в медицине, финансах, для распознавания образов и в других областях [18].

Наивный Байес (naive Bayes classifier, NB) — вероятностный классификатор, основанный на теореме Байеса со строгими (наивными) предположениями о независимости между признаками [19]. Основное его достоинство — простота реализации и низкие вычислительные затраты при обучении. Недостаток — низкое качество классификации в задачах с высокой размерностью признаков.

Случайный лес (random forest, RF) — алгоритм машинного обучения, использующий комитет (ансамбль) решающих деревьев [20]. Главная идея алгоритма заключается в том, что строится множество разных моделей с участием относительно слабого алгоритма, результат предсказаний каждой модели усредняется и выбирается лучшее решение. Главное преимущество RF — это способность эффективно обрабатывать данные с большим числом признаков и классов.

Градиентный бустинг (extreme gradient boosting, Xgboost) — алгоритм машинного обучения, заключающийся в построении линейной комбинации простых алгоритмов путем изменения веса входных данных [21–22]. Каждая последующая модель (как правило, дерево решений) строится таким образом, чтобы придавать больший вес и отдавать предпочтение ранее некорректно предсказанным наблюдениям.

Оценка качества классификации. В задачах машинного обучения для оценки качества моделей и сравнения различных алгоритмов используются метрики, а их выбор и анализ — неперенная часть любого исследования. Для определения основных метрик используем матрицу ошибок (confusion matrix) [23], которая представлена в табл. 2.

Таблица 2

Матрицы ошибок

Предсказанные классы	Истинные классы	
	y=1	y=0
$\hat{y}=1$	Истинноположительные	Ложноположительные
$\hat{y}=0$	Ложноотрицательные	Истинноотрицательные

Здесь \hat{y} — это ответ алгоритма на объекте, а y — истинная метка класса на этом объекте.

Для оценки качества классификации используются различные метрики:

accuracy (доля правильных ответов);

precision (точность);

recall (полнота);

F-score (F-мера).

В нашем исследовании мы используем наиболее распространенную метрику — долю правильных ответов, которая применяется как для бинарной классификации, так и для мультиклассовой.

Методика классификации. Классификация данных производится в несколько этапов:

применение схемы скользящего контроля [24], которая базируется на десятикратном разбиении множества объектов, разделение случайным образом исходной выборки данных на обучающую и тестовую в равных пропорциях;

обучение классификатора на обучающей выборке и проверка его на тестовой;

оценка качества классификации с использованием одной из описанных метрик.

Результаты

Для обработки пептидных матриц выдвигаются значительные требования как к процессорной мощности, так и к оперативной памяти. На рис. 1 представлен график сравнения времени (логарифмическая шкала) обучения классификаторов с различным количеством пептидов. Легко заметить, что при уменьшении количества пептидов скорость обучения многократно возрастает. Все это приводит к тому, что обучение модели становится доступно даже на стандартном компьютере. Поэтому сокращение признаков в иммуносигнатуре — это важный этап, который позволяет корректно оценивать результаты.

В табл. 3 представлены объемы выборок, полученных в результате отбора соответствующим методом. В результате получается пять выборок с разным количеством пептидов.

Для оценки корректности работы методов построим сглаженную диаграмму частот для наиболее и наименее информативного пептида. На рис. 2, а изображен пептид, который выбран методом Джеффриса–Матуситы как малоинформативный. Значения светимостей у всех классов болезней похожи, поэтому данный пептид бесполезен для клас-

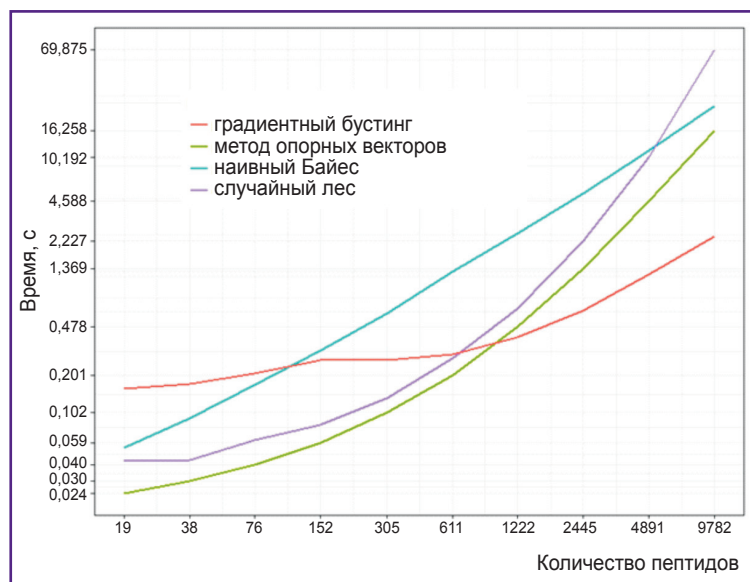


Рис. 1. Результаты работы классификаторов с различным количеством пептидов

Таблица 3
Параметры выборок

Критерии	№ набора данных				
	1	2	3	4	5
Манна–Уитни–Вилкоксона	236	119	72	47	25
Колмогорова–Смирнова	234	120	70	45	23
Расстояние Джеффриса–Матуситы	249	115	70	40	24
Стьюдента	226	114	70	48	24

сификации, так как вносит шум в признаковое пространство. На рис. 2, б изображен пептид, который выделяется как информативный, при этом заметны явные отличия между классами. Поэтому данный пептид пригоден для использования в алгоритмах классификации.

Полученные результаты позволяют заключить, что отбор информативных признаков — это важная процедура при анализе данных иммуносигнатур, которая позволяет существенно снизить размерность признакового пространства, «очистив» его от избыточных, неинформативных данных.

Результаты классификации представлены на рис. 3. Для оценки работы классификаторов использован набор данных №1 из табл. 3, для оценки качества классификации — метрика доли правильных ответов (ассигасу). Отметим, что все критерии отбора информативных признаков показали достаточно хорошее качество классификации, которое не зависит от типа классификатора. Следует сказать, что для классификации иммуносигнатур возможно применение широкого набора доступных классификаторов.

Следующий этап эксперимента — это детальное рассмотрение каждого из методов сокращения размерности. Ввиду незначительных отличий между классификаторами для проведения дальнейшего исследования остановимся на одном из рассмотренных

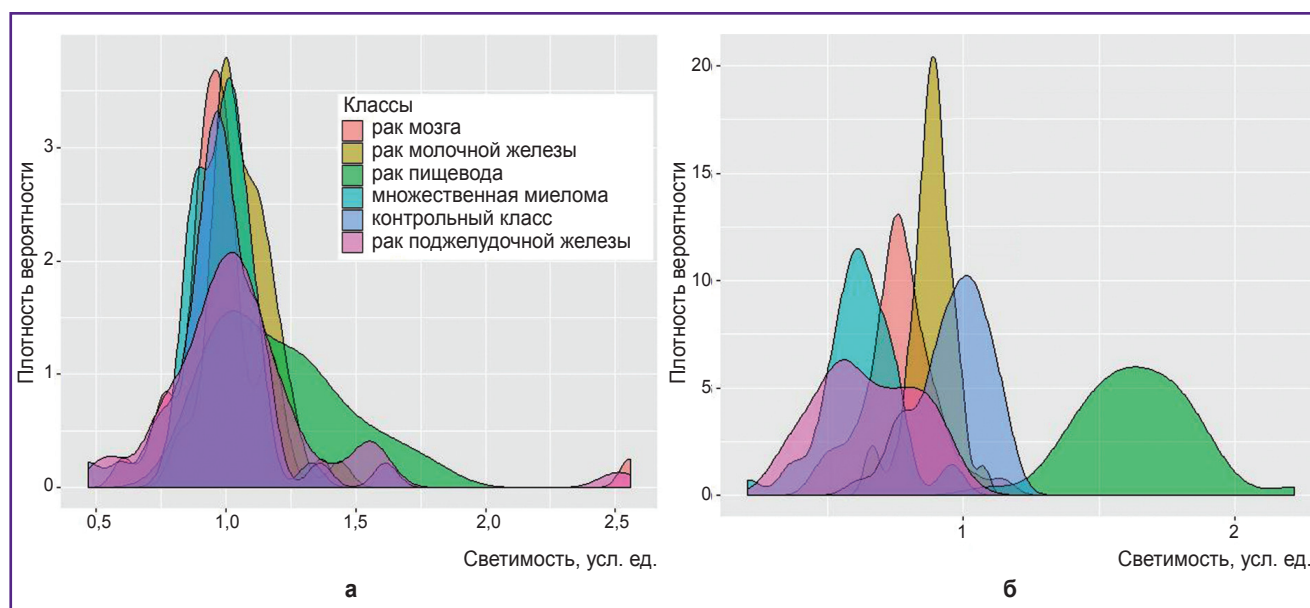


Рис. 2. Плотности вероятности пептидов: а — пептид CSGRDTMPPHDKSAILMMIY малоинформативный; б — пептид CSGRDTMPPHDKSAILMMIY информативный

алгоритмов классификации, а именно на алгоритме «случайный лес».

На рис. 4 представлен график тестирования с помощью алгоритма «случайный лес» различных выборок из табл. 3. Каждая точка на графике представляет собой среднее значение доли правильных ответов после десятикратного обучения алгоритма «случайный лес». Анализируя результаты тестирования, следует отметить, что при количестве пептидов меньше 24 качество классификации начинает снижаться, а при увеличении их количества до 115 качество классификации не растёт. Полученная область информативности расположена между этими двумя границами.

Рассмотренные методы отбора информативных признаков дают корректный результат, и на выборке с малым количеством признаков можно достигнуть качества классификации, сравнимого с классификацией на исходной выборке.

Заключение

В связи с бурным развитием современных технологий ранней диагностики заболеваний возникает проблема анализа данных большой размерности. Новые технологии позволяют получать большое количество признаков с различной диагностической ценностью, что обуславливает необходимость анализа и отбора наиболее информативных из них.

В рамках исследования экспериментально доказано, что с помощью рассмотренных методов сокращения размерности можно выделить наиболее информативные признаки-пептиды. В результате удается сократить признаковое пространство без потери качества классификации примерно в 240 раз. При этом время работы классификаторов удается уменьшить в 16 раз для градиентного бустинга и в 1625 раз — для случайного леса, благодаря чему задача классификации может быть решена и на компьютерах со стандартными характеристиками.

В результате эксперимента не выявлен явный лидер как в методах классификации, так и в методах поиска информативных признаков. Рассмотренные методы сокращения размерности и классификации в дальнейшем будут использоваться и с другими пептидными матрицами более высокой размерности.

Финансирование исследования. Исследование не финансировалось какими-либо источниками.

Конфликт интересов. У авторов нет конфликта интересов.

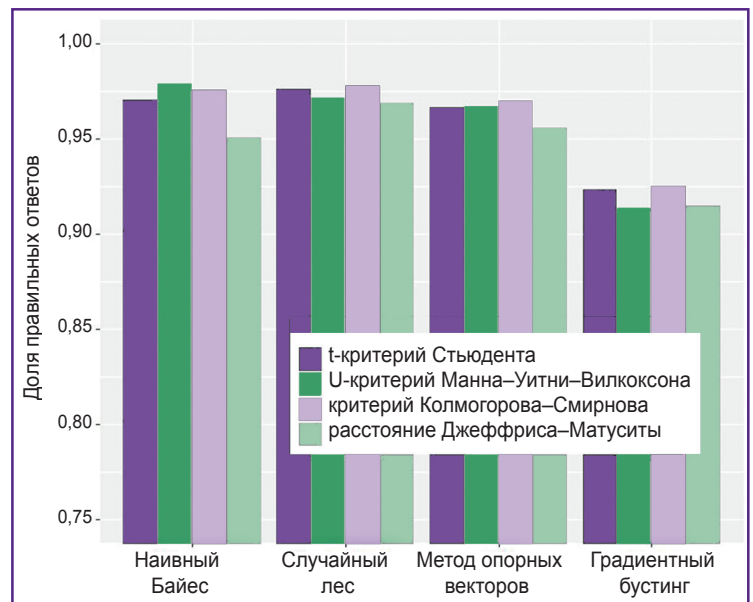


Рис. 3. Оценка методов классификации при различных критериях оценки информативности

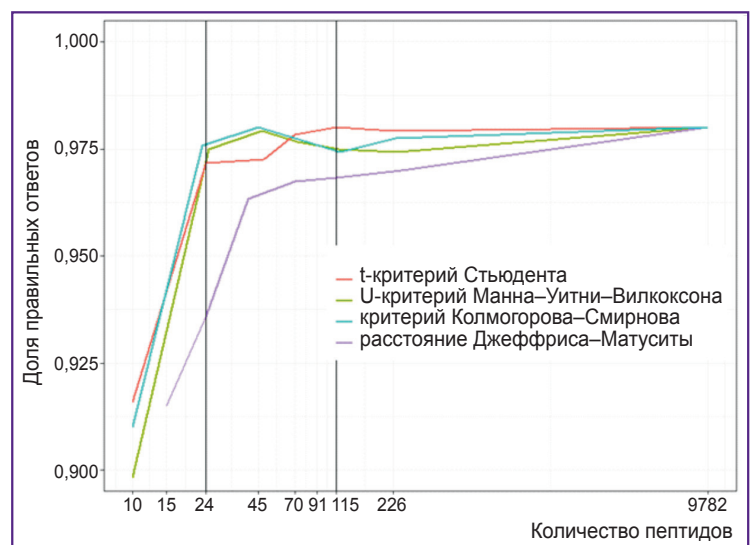


Рис. 4. Оценка уровня информативности при различном количестве пептидов с использованием алгоритма «случайный лес» в качестве классификатора

Литература/References

1. *World Cancer Report 2014*. Geneva: World Health Organization, International Agency for Research on Cancer; 2014.
2. Ntagirabiri R., Munezero B., Nizigiyimana G., Ngomirakiza J.B., Ndabaneze E. Assessment of diagnostic efficiency of the optic upper digestive endoscopy in the era of video endoscopy. *Journal Africain d'Hépatogastroentérologie* 2015; 9(2): 64–67, <https://doi.org/10.1007/s12157-015-0587-7>.
3. O'Donnell B., Maurer A., Papandreou-Suppappola A., Stafford P. Time-frequency analysis of peptide microarray data: application to brain cancer immunosignatures. *Cancer Inform* 2015; 14(2): 219–233, <https://doi.org/10.4137/cin.s17285>.

4. Richer J., Johnston S.A., Stafford P. Epitope identification from fixed-complexity random-sequence peptide microarrays. *Mol Cell Proteomics* 2015; 14(1): 136–147, <https://doi.org/10.1074/mcp.m114.043513>.
5. Kukreja M., Johnston S.A., Stafford P. Immunosignaturing microarrays distinguish antibody profiles of related pancreatic diseases. *J Proteomics Bioinform* 2012; 1(S6): 001, <https://doi.org/10.4172/jpb.s6-001>.
6. Stafford P., Cichacz Z., Woodbury N.W. Immunosignature system for diagnosis of cancer. *Proc Natl Acad Sci USA* 2014; 111(30): E3072–E3080, <https://doi.org/10.1073/pnas.1409432111>.
7. Singh S., Stafford P., Schlauch K.A., Tillett R.R., Gollery M., Johnston S.A., Khaiboullina S.F., De Meirleir K.L., Rawat S., Mijatovic T., Subramanian K., Palotás A., Lombardi V.C. Humoral immunity profiling of subjects with myalgic encephalomyelitis using a random peptide microarray differentiates cases from controls with high specificity and sensitivity. *Mol Neurobiol* 2016; 55(1): 633–641, <https://doi.org/10.1007/s12035-016-0334-0>.
8. Шаповал А.И., Легutki Д.Б., Стаффорд Ф., Требухов А.В., Джонстон С.А., Шойхет Я.Н., Лазарев А.Ф. Иммуносигнатура — пептидный микроэрей для диагностики рака и других заболеваний. *Российский онкологический журнал* 2014; 19(4): 6–11. Chapoval A.I., Legutki J.B., Stafford P., Trebukhov A.V., Johnston S.A., Shoykhet Ya.N., Lazarev A.F. Immunosignature — peptide microarray for diagnostic of cancer and other diseases. *Rossiyskiy onkologicheskij zurnal* 2014; 19(4): 6–11.
9. Осипова Т.В., Рярых Т.П., Барышников А.Ю. Диагностические микрочипы: применение в онкологии. *Российский биотерапевтический журнал* 2006; 5(3): 72–81. Osipova T.V., Ryabykh T.P., Baryshnikov A.Yu. Diagnostic microchips: application in oncology. *Rossiyskiy bioterapevticheskij zurnal* 2006; 5(3): 72–81.
10. Андрищенко В.С., Перец Е.Ю., Лялюхова И.Е. Классификация иммуносигнатурных данных для задач ранней диагностики опасных заболеваний. В кн.: Информационные технологии и математическое моделирование (ITMM-2017). Томск; 2017; с. 18–25. Andryushchenko V.S., Perets E.Yu., Lyalyukhova I.E. Klassifikatsiya immunosignaturnykh dannykh dlya zadach ranney diagnostiki opasnykh zabolevaniy. V kn.: *Informatsionnye tekhnologii i matematicheskoe modelirovanie (ITMM-2017)* [Classification of immunosignature data applied to the early diagnosis of dangerous diseases. In: Information technologies and mathematical modeling (ITMM-2017)]. Tomsk; 2017; p. 18–25.
11. Stafford P., Halperin R., Legutki J.B., Magee D.M., Galgiani J., Johnston S.A. Physical characterization of the “immunosignaturing effect”. *Mol Cell Proteomics* 2012; 11(4): M111.011593, <https://doi.org/10.1074/mcp.m111.011593>.
12. GSE52580. URL: <https://www.ncbi.nlm.nih.gov/geo/query/acc.cgi?acc=GSE52580>.
13. Student. The probable error of a mean. *Biometrika* 1908; 6(1): 1–25, <https://doi.org/10.2307/2331554>.
14. Mann H.B., Whitney D.R. On a test of whether one of two random variables is stochastically larger than the other. *The Annals of Mathematical Statistics* 1947; 18(1): 50–60, <https://doi.org/10.1214/aoms/1177730491>.
15. Salvia A.A. Some fundamental properties of Kolmogorov–Smirnov consonance sets. *Technometrics* 1980; 22(1): 109–111, <https://doi.org/10.2307/1268389>.
16. Matusita K. Statistical theory and data analysis. *Biometrics* 1985; 41(3): 815, <https://doi.org/10.2307/2531311>.
17. Cumming G. Replication and p intervals: p values predict the future only vaguely, but confidence intervals do much better. *Perspect Psychol Sci* 2008; 3(4): 286–300, <https://doi.org/10.1111/j.1745-6924.2008.00079.x>.
18. Mammone A., Turchi M., Cristianini N. Support vector machines. *Wiley Interdisciplinary Reviews: Computational Statistics* 2009; 1(3): 283–289, <https://doi.org/10.1002/wics.49>.
19. Shaik L., Swamy N.N. Efficient implementation of class based decomposition schemes for naive bayes classifier. *International Journal of Science and Research* 2015; 4(11): 237–240, <https://doi.org/10.21275/v4i11.nov151091>.
20. Breiman L. Random forests. *Machine Learning* 2001; 45(1): 5–32, <https://doi.org/10.1023/a:1010933404324>.
21. Natekin A., Knoll A. Gradient boosting machines, a tutorial. *Front Neurobot* 2013; 7: 21, <https://doi.org/10.3389/fnbot.2013.00021>.
22. Friedman J.H. Greedy function approximation: a gradient boosting machine. *Ann Statist* 2001; 29(5): 1189–1232, <https://doi.org/10.1214/aos/1013203451>.
23. Ting K.M. Covariance Matrix. In: Sammut C., Webb G. (editors). *Encyclopedia of machine learning and data mining*. Boston, MA: Springer; 2016, https://doi.org/10.1007/978-1-4899-7502-7_50-1.
24. Sylvain A., Celisse A. A survey of cross-validation procedures for model selection. *Statistics Surveys* 2010; 4: 40–79, <https://doi.org/10.1214/09-ss054>.